

比見工業大学 正員 奥村 勇
 比見工業大学 正員 尾中孝美
 横田機械工業 工藤智紀

1. まえがき 軸対称問題としての中央球、厚肉球殻及び無根体中の球かの第1種及び第2種境界値問題は、3次元弾性論の書物において良く見受けられる所であるが、厚肉球殻の混合境界値問題の1つであるスタンプの解析は、あまり見受けられないようである。本研究は、厚肉球殻の外表面の1部が変位成分によって規定され、他の部分及び内表面が応力成分によって規定されたスタンプの解析を近似解法により行なしたものである。ここで用いた近似解法は、厚肉球殻の内表面における境界条件及び内部の変位場・応力場は、3次元弾性解により厳密に満たされ、外表面のスタンプの境界条件のみが近似的に満たされる一半解析方法である。前回は、同じ手法により、中央球のスタンプの解析について報告したが、今回は、それを厚肉球殻のスタンプの解析に発展させたものである。

2. 線荷重を受けた時の解 厚肉球殻の内表面 ($r=R_1$) には外力が作用せず、外表面 ($r=R_2$) の $\theta = \theta_L$ 及び $\theta = \pi - \theta_L$ との円周上に2個の線垂直荷重 P_L 及び線せん断荷重 $\pm P_L \sin \theta$ が作用した時の解は、たとえば次のようになります。

$$2G\bar{u}_r = \sum_{n=2}^{\infty} r^{n-1} n A_n P_n(\mu) + \sum_{n=1}^{\infty} r^{n+1} (n+1)(n-2+4\nu) E_n P_n(\mu) - \sum_{n=1}^{\infty} r^{-(n+2)} D_n (n+1) P_n(\mu) + \sum_{n=1}^{\infty} r^{-n} C_n \pi \\ \cdot (n+3-4\nu) P_n(\mu) - 2(1-2\nu) E_0 r - D_0 / r^2; \\ \sigma_{rr} = \sum_{n=2}^{\infty} r^{n-2} n(n-1) A_n P_n(\mu) + \sum_{n=1}^{\infty} r^n (n+1)(n^2-n-2-2\nu) E_n P_n(\mu) + \sum_{n=1}^{\infty} r^{-(n+3)} D_n (n+1)(n+2) P_n(\mu) \\ - \sum_{n=1}^{\infty} r^{-(n+1)} C_n \pi (n^2+3n-2\nu) P_n(\mu) - 2(1+\nu) E_0 + 2D_0 / r^3 \dots \dots \dots \quad (1)$$

ここで、 G 及び ν は、それぞれ、せん断弾性係数及びボアソン比を表すものとし、また、 $\mu \equiv \cos \theta$ である。式に含まれる未定定数は、たとえば、次の通りである。

$$E_n = G \sin \theta_L / (\Delta_n R_2^n) \{ \bar{P}_L (2n+1) P_n(\cos \theta_L) [P_n(2n+1)(\rho^{2-n} - \rho^{n+1}) + \pi (\gamma_n + \kappa_n)(\rho^{n+3} - \rho^{2-n})] + \bar{g}_2 \\ \cdot n [P_{n-1}(\cos \theta_L) - P_{n+1}(\cos \theta_L)] [P_n(2n+1)(\rho^{2-n} - \rho^{n+1}) + (n+1)(\gamma_n + \kappa_n)(\rho^{n+3} - \rho^{2-n})] \}; \\ C_n = GR_1^{n+1} \sin \theta_L / \Delta_n \{ \bar{P}_L (2n+1) P_n(\cos \theta_L) [\delta_n(2n+1)(1-\rho^2) + \{(n+1)\gamma_n - n\delta_n\}(\rho^{2n+3} - \rho^2)] + \bar{g}_2 \\ \cdot (n+1)[P_{n-1}(\cos \theta_L) - P_{n+1}(\cos \theta_L)] [\{(n+1)\gamma_n - n\delta_n\}(\rho^{2n+3} - \rho^2) - \gamma_n(2n+1)(1-\rho^2)] \}; \\ E_0 = -G \bar{P}_L \sin \theta_L / \{ 2(1+\nu)(\rho^3 - 1) \}; \quad D_0 = -GR_1^3 \bar{P}_L \sin \theta_L / \{ 2(\rho^3 - 1) \} \dots \dots \dots \quad (2) \\ \therefore \bar{r}, \quad \bar{P}_L = P_L / (GR_2); \quad \bar{g}_2 = g_L / (GR_2); \quad \rho = R_1 / R_2; \quad \gamma_n = n^2 - 2 + 2\nu; \\ \kappa_n = n^2 + 3n - 2\nu; \quad \delta_n = n^2 + 2n - 1 + 2\nu; \quad \gamma_n = n^2 - n - 2 - 2\nu; \\ \Delta_n = (\rho^{2n+3} - 1)(\rho^{2-n} - \rho^{n+1}) \{ (n+1)\gamma_n - n\delta_n \} \{ (n+1)\gamma_n - n\kappa_n \} - (1-\rho^2)(\rho^{n+3} - \rho^{n+1}) \\ \cdot \pi(n+1)(\gamma_n + \kappa_n)(\gamma_n + \delta_n) \dots \dots \dots \quad (3)$$

式(1)及式(2)の解を用いると、 $0 < \theta \leq \theta_L$ の区間に線垂直荷重 P_L がし個及び線せん断荷重 $\pm P_L \sin \theta$ がし個作用している時の解が、 ℓ の総和を取ることにより得られ、たとえば、次の通りである。

$$2G\bar{u}_r = \sum_{n=2}^{\infty} \sum_{m=1}^{\infty} r^{n-1} n A_n P_n(\mu) + \sum_{n=1}^{\infty} \sum_{m=1}^{n+1} r^{m+1} (n+1)(n-2+4\nu) E_n P_n(\mu) - \sum_{n=1}^{\infty} \sum_{m=1}^{\infty} r^{-(n+2)} D_n (n+1) P_n(\mu) \\ + \sum_{n=2}^{\infty} \sum_{m=1}^{\infty} r^{-n} C_n \pi (n+m-4\nu) P_n(\mu) - \sum_{n=1}^{\infty} \{ 2(1-2\nu) E_0 r + D_0 / r^2 \}; \\ \sigma_{rr} = \sum_{n=2}^{\infty} \sum_{m=1}^{\infty} r^{n-2} n(n-1) A_n P_n(\mu) + \sum_{n=1}^{\infty} \sum_{m=1}^{n+2} r^m (n+1)(n^2-n-2-2\nu) E_n P_n(\mu) + \sum_{n=1}^{\infty} \sum_{m=1}^{\infty} r^{-(n+3)} D_n (n+1) \\ \cdot (n+2) P_n(\mu) - \sum_{n=1}^{\infty} \sum_{m=1}^{\infty} r^{-(n+1)} C_n \pi (n^2+3n-2\nu) P_n(\mu) - \sum_{n=1}^{\infty} \{ 2(1+\nu) E_0 - 2D_0 / r^3 \} \dots \dots \quad (4)$$

上式中の A_n, \dots, C_n 及び E_0, D_0 などは、たとえば、式(2)に示したものである。

3. 境界条件 次頁の図-1に示した厚肉球殻のスタンプの境界条件は、次の通りである。

$$r = R_1 \text{において } \sigma_{rr} = 0, \sigma_{r\theta} = 0 \dots \dots \dots \quad (5)$$

$r = R_2, 0 \leq \theta < \theta_0$ において

$$u_r = -R_2(\mu - \cos \theta_0) \mu, u_\theta = R_2(\mu - \cos \theta_0) \sin \theta \dots \dots \quad (6a)$$

$r = R_2, \theta_0 < \theta < \pi - \theta_0$ において $\sigma_{rr} = 0, \sigma_{r\theta} = 0 \dots \dots \quad (6f)$

$r = R_2, \pi - \theta_0 < \theta \leq \pi$ において

$$u_r = -R_2(\mu + \cos \theta_0) \mu, u_\theta = R_2(\mu + \cos \theta_0) \sin \theta \dots \dots \quad (6c)$$

式(5)及式(6f)の境界条件は、たとえば、式(1)から式(4)において示した解によりすでに満足されてる。なぜなら、式(1)から式(4)の解は、 $r = R_1$ において $\sigma_{rr} = \sigma_{r\theta} = 0$ の条件及び $0 < \theta \leq \theta_0$ の区間の $\theta = \theta_0$ の外に線荷重が作用してる条件を用いて求めた解であるからである。

図-1に示した様に、 $z=0$ に関して上、下対称であるので、式(6a)の

境界条件について考えると、線荷重の強度及び距離を求める式が次のようになる。

$$\sum_{n=1}^{\infty} (a_n^k \bar{P}_k + a_n^l \bar{Q}_k) = (\mu - \cos \theta_0) \mu, \sum_{n=1}^{\infty} (a_n^k \bar{P}_k + a_n^l \bar{Q}_k) = -(\mu - \cos \theta_0) \sin \theta \dots \dots \dots \quad (7)$$

ここで、たとえば、 $a_n^k = \sin \theta_0 \left\{ \frac{1}{2}(1-2\nu) + \rho^3(1+\nu) \right\} / \{4(1+\nu)(1-\rho^2)\} + \sum_{n=2}^{\infty} P_n(\mu) P_n(\cos \theta_0) (2n+1) / (2\Delta n) \left\{ \pi / (\pi-1) [\eta_n(n+1)(S_n + \delta_n)(\rho^{n+5} - \rho^{n+3}) - \delta_n \{ \pi K_n - (n+1)\eta_n \} (\rho^{2-n} - \rho^{n+5})] + (\pi+1)(\pi-2+4\nu) \cdot [\eta_n(2n+1)(\rho^{n+5} - \rho^{2-n}) + n(\eta_n + K_n)(\rho^{2-n} - \rho^{n+3})] + (\pi+1)/(\pi+2) \{ \pi \delta_n (\eta_n + K_n)(\rho^{n+5} - \rho^{n+4}) - \eta_n \{ (\pi+1)S_n - n\delta_n \} (\rho^{n+5} - \rho^{n+4}) \} + \pi(\pi+3-4\nu) \{ \delta_n(2n+1)(\rho^{n+3} - \rho^{n+1}) + \{ (\pi+1)S_n - n\delta_n \} (\rho^{n+3} - \rho^{n+4}) \} \right\} \dots \dots \quad (8)$

式(7)は、 $0 \leq \theta < \theta_0$ の区間ににおける任意の θ に關して満足すべきものであるが、近似的に $0 + \varepsilon \leq \theta_k \leq \theta_0$ ($k = 1, 2, \dots, L$) の区間の θ_k の各点において満足するものとし、2L元重立1次方程式を解いてし個の重及公差を数値的に求め式(2)から式(4)に代入して変位成分及び応力成分を求めよ。

4. 数値計算例 $\theta_0 = \pi/16, \varepsilon = 0.005, L = 80, n=2, 4, \dots, 200, \nu = 0.25, \rho = 0.6$ として計算した。図-2には、 σ_{rr} の分布を示した。外表面 ($r = R_2$) における値は、スタンプの境界 ($\theta = \theta_0 = \pi/16$) で連續的 σ_{rr} となり、 $r = 0.9R_2$ における値は、 $\theta = 5\pi/64$ 附近で比較的大きな引張応力を示す。図-3には、 $\sigma_{r\theta}$ の分布を示した。

$r = R_2$ における値は、スタンプの境界のわざか内側で最大値を示し、境界においては、連續して 0 となるず、不連続性を示している。この結果は、スタンプの境界附近で摩擦が存在したままに何らかのすべりが生じてることを意味しており興味ある解析結果と思われる。

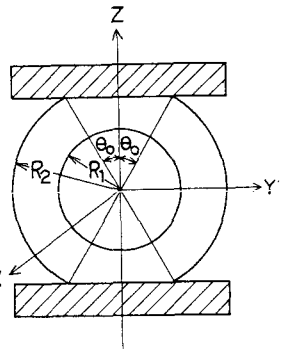


図-1 厚肉球殻のスタンプ

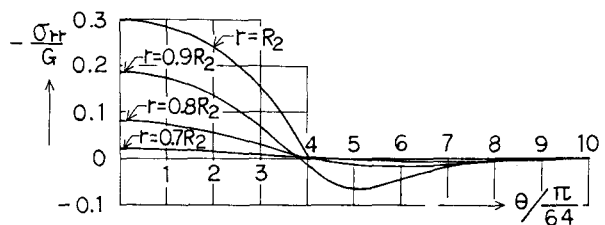


図-2 σ_{rr} の分布

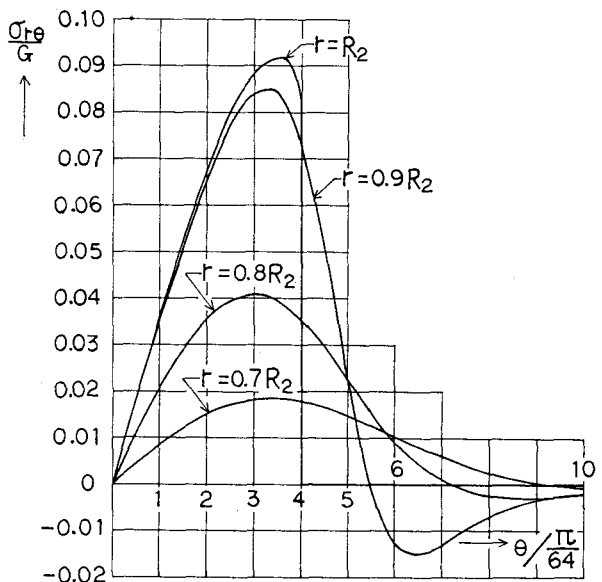


図-3 $\sigma_{r\theta}$ の分布